

# Überblick über die umformende Herstellung von Komponenten für Elektrolyseure

Patrick Cyron





## Agenda





## Institut für Umformtechnik

## Lage des Instituts für Umformtechnik



Anschrift
Holzgartenstraße 17
70174 Stuttgart























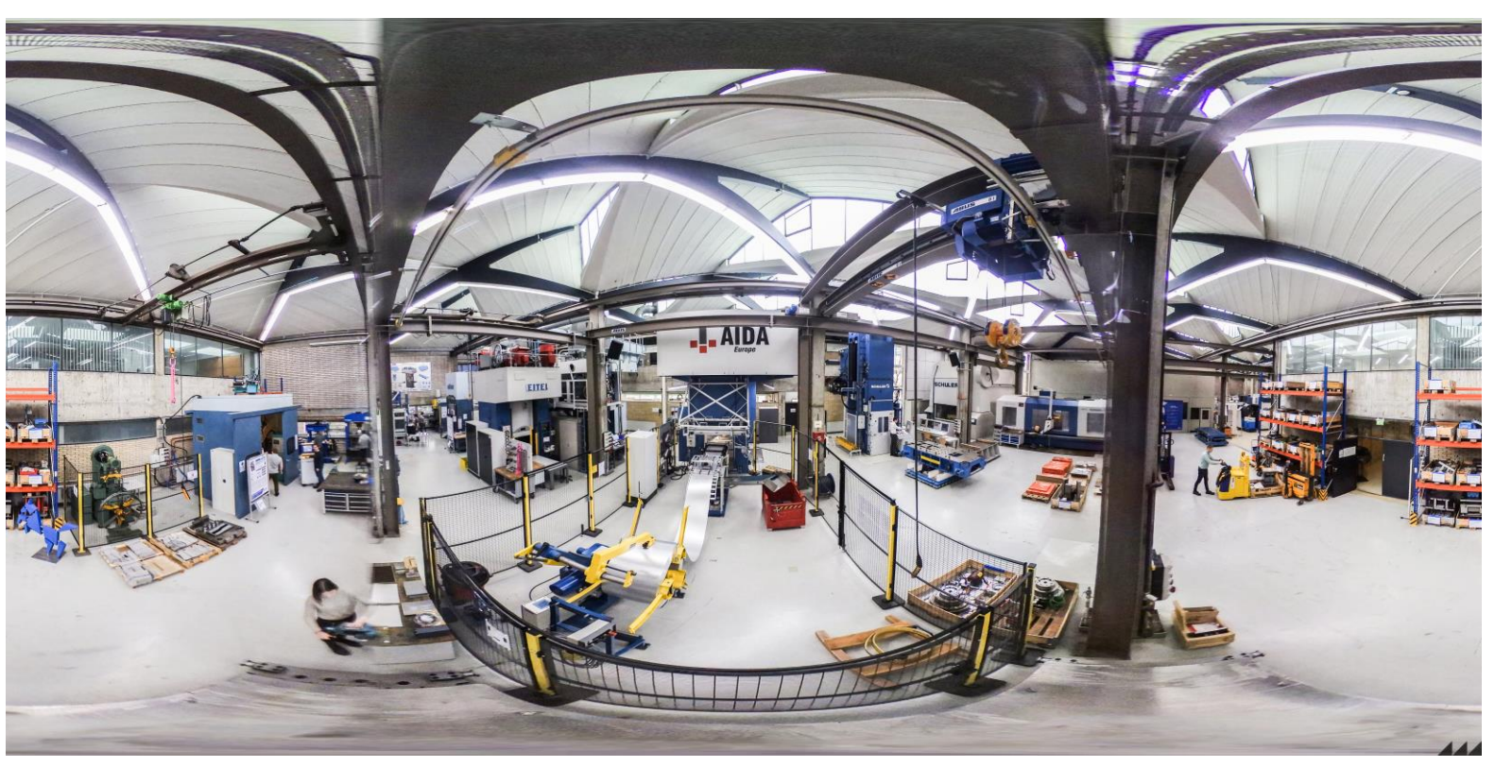
## Institut für Umformtechnik

## Flächen am Institut und Versuchseinrichtungen

Versuchsfeld:	770 m²
Labore:	1.150 m <sup>2</sup>
Werkstatt:	270 m²
Lager:	540 m <sup>2</sup>
Büros:	550 m <sup>2</sup>
Hörsäle, Besprechungsräume:	220 m²















## Institut für Umformtechnik

## Maschinenliste des Instituts



	Presse	Pressenart	Kraft [kN]	Hub [mm]	Tisch [mm²]	max. Wzg einbau-höhe [mm]	Besonderheit
1	Bruderer	Exzenter	510	47	1080 x 650	289 (Hubabh.)	Bis zu 2000 Hub/Min
2	AIDA	Servo- mechanisch	6 300	450	3050 x 1500	1300	Ziehkissen 1500 kN
3	Müller	Hydraulisch	2 000	800	1000 x 1000	985	Ziehkissen 600kN
4	Schuler (Servo)	Servo- mechanisch	5 000	500	950 x 950	1400	Stößel- und Tischauswerfer
5	May	Mechanisch	6 000	148	540 x 600	420	Tischauswerfer
6	SMG	Hydraulisch	6 000	525	1300 x 1000	1300	Stößel- und Tischauswerfer
7	Becker & Van Hüllen	Hydraulisch	5 000	300	900 x 900	1300	Tischauswerfer, 800 mm/s Hubgeschw.
8	Müller- Weingarten	Hydraulisch	35 000	525	2500 x 900	600	Zuhaltevorrichtung
9	SPS	Hydraulisch	1 000	500	800 x 800	1000	Halten der Presskraft
10	TruPunch 5000R	Hydraulisch	220	25	1000 x 1000	-	Bis zu 1400 Hub/Min



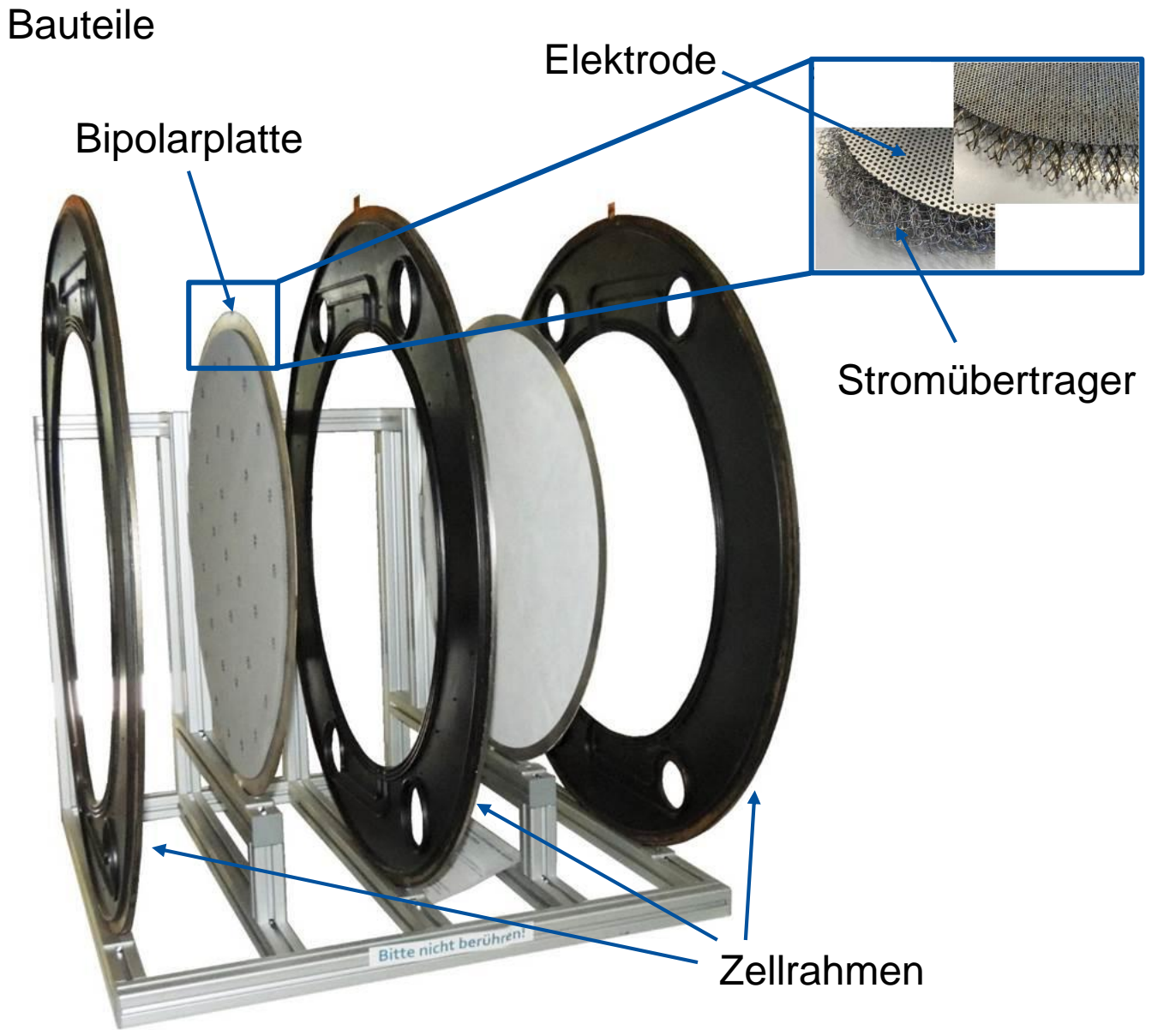


## Agenda





## **Elektrolyseur**





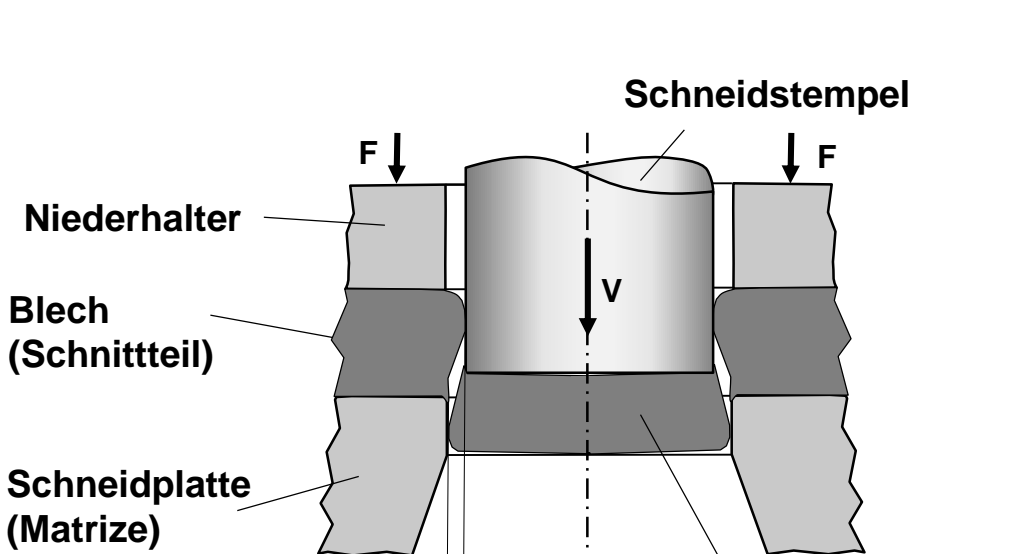
Bauteil	Beschaffenheit		
Zellrahmen • Scherschneiden • Kragenziehen	Edelstahl, Nickelbeschichtung Blechdicke: ca. 5-10mm		
Bipolarplatte (BPP) <ul><li>Scherschneiden</li><li>Kragenziehen</li><li>Hohlprägen</li></ul>	Edelstahl Blechdicke: ~1mm		
Elektrode • Scherschneiden	<ul> <li>Anode (Sauerstoffseite)         <ul> <li>Korrosionsschutz</li> <li>Material: Nickel oder beschichtet + Katalysatoren</li> </ul> </li> <li>Kathode (Wasserstoffseite)         <ul> <li>Material: Raney-Nickel (Nickel-Aluminium + Katalysator)</li> </ul> </li> </ul>		

→ Große Bauteile, weite Toleranzen, Korrosionsbeständigkeit



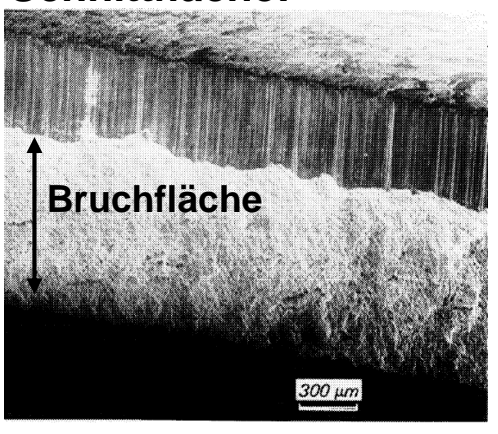


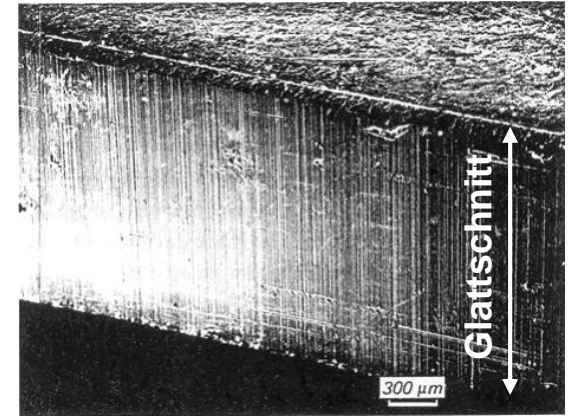
Scherschneiden: Zellrahmen, Elektrode, BPP



Schneidspalt u

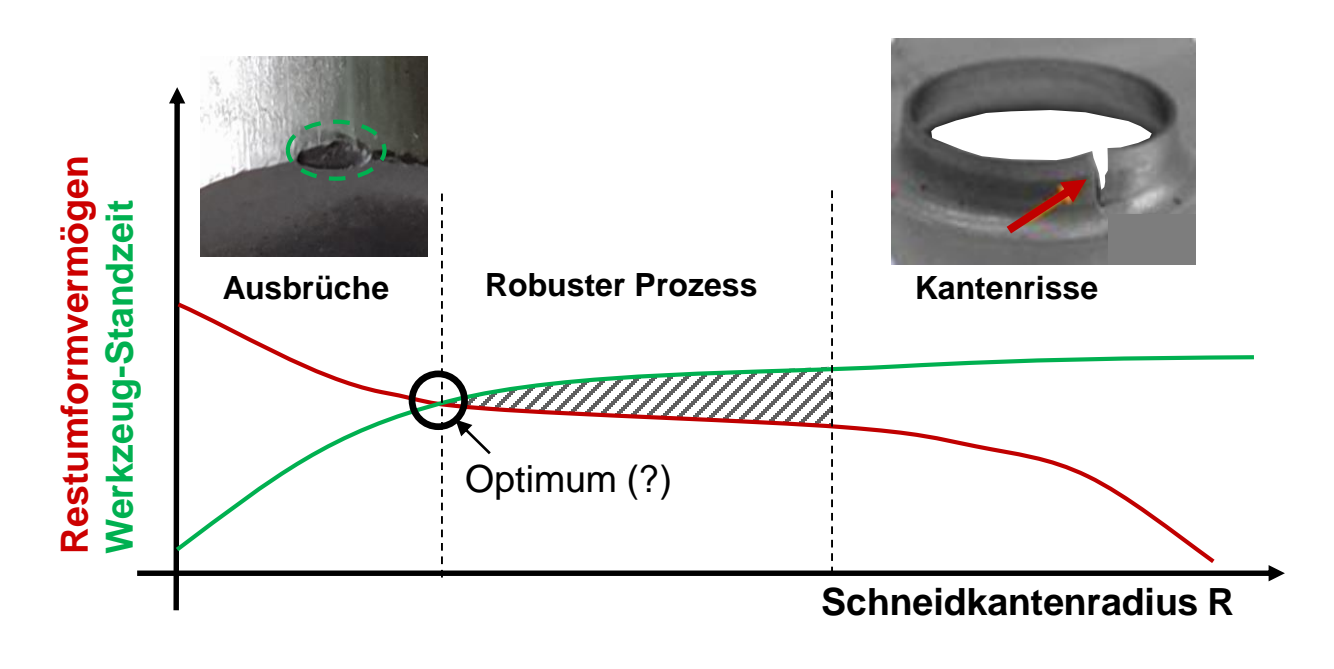




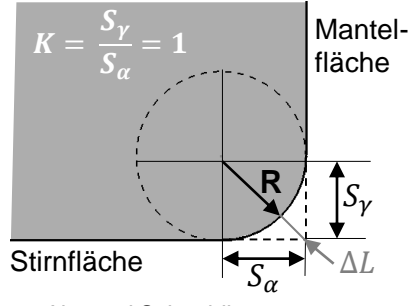


**Butzen (Abfall)** 

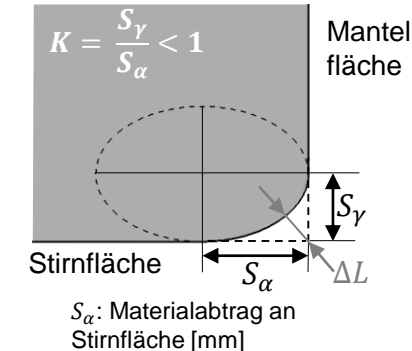


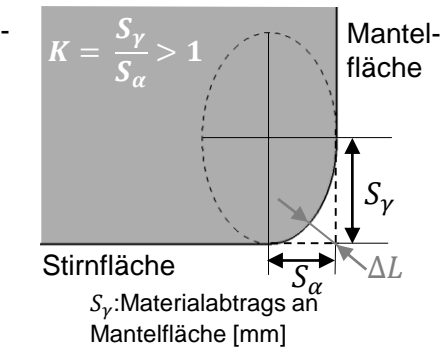


#### Forschungsprojekt: Schneidkantenverrundung



Δ*L*: Abstand Schneidkante zu Geradenschnittpunkt [mm]





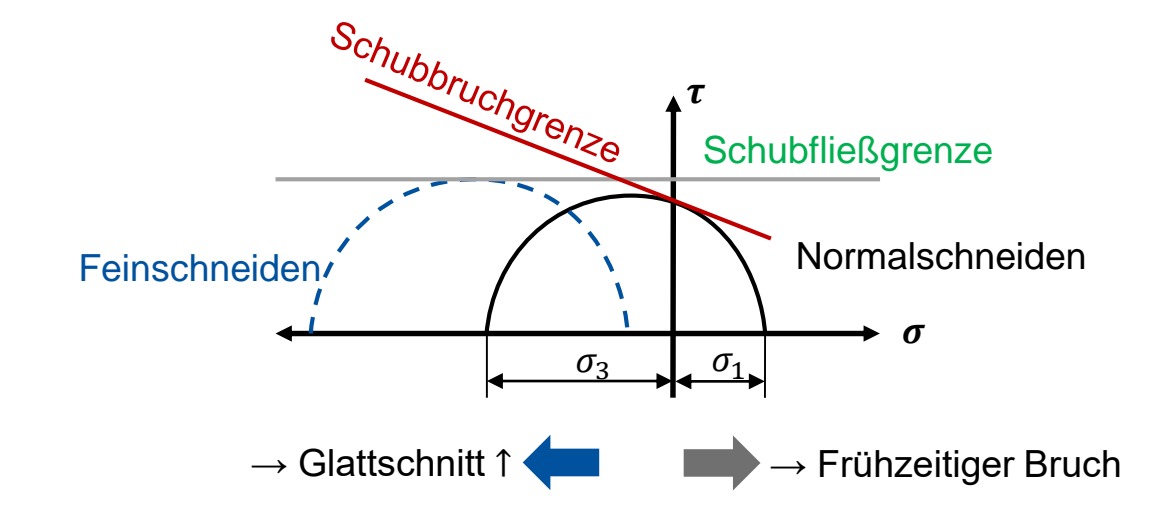


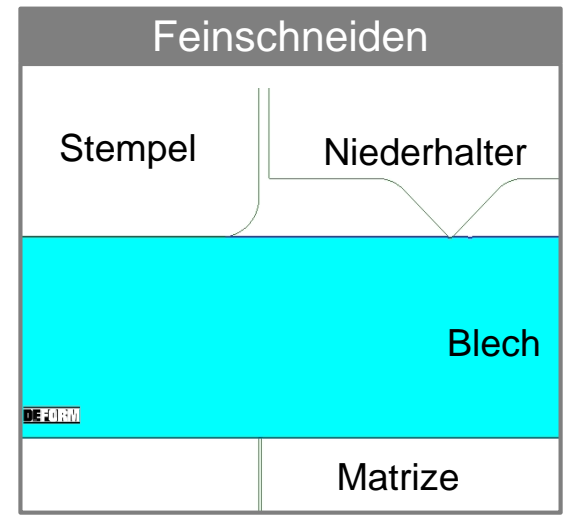


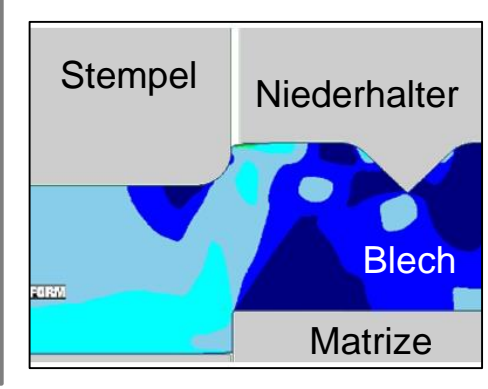
#### Scherschneiden Verfahren

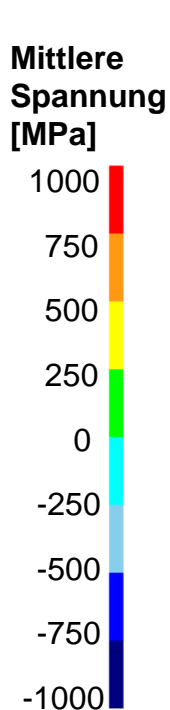


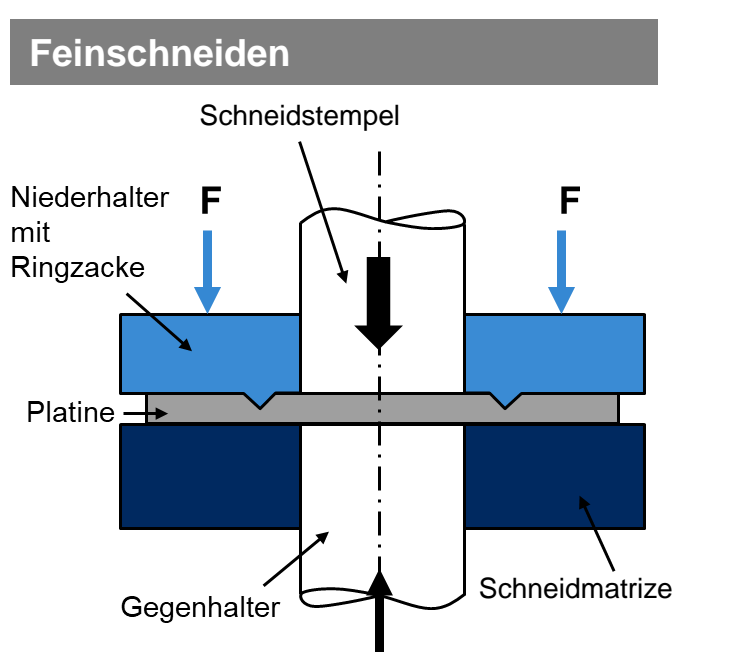


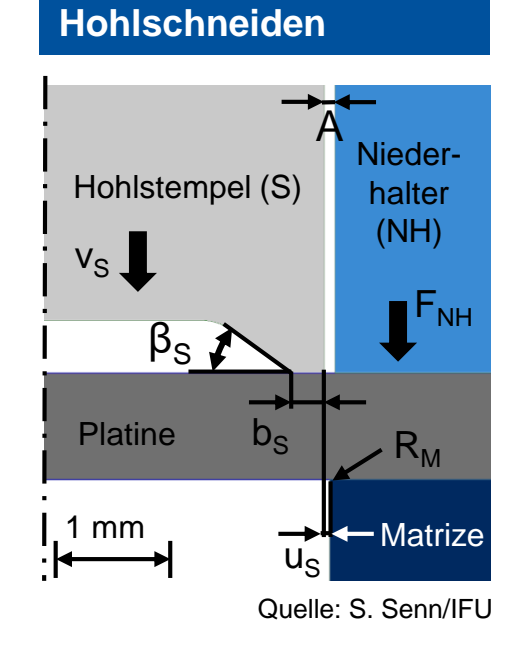


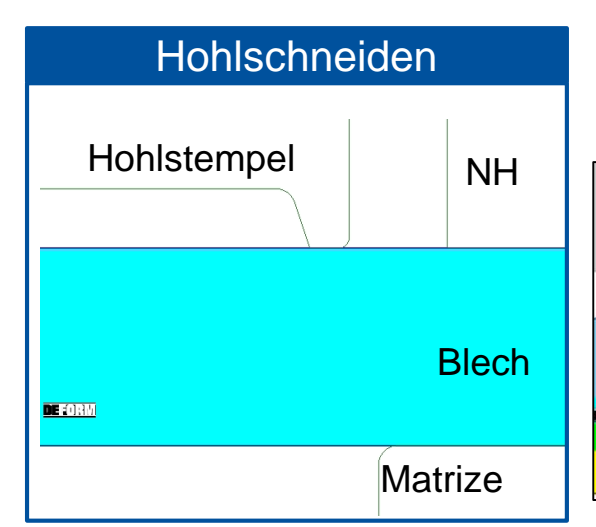


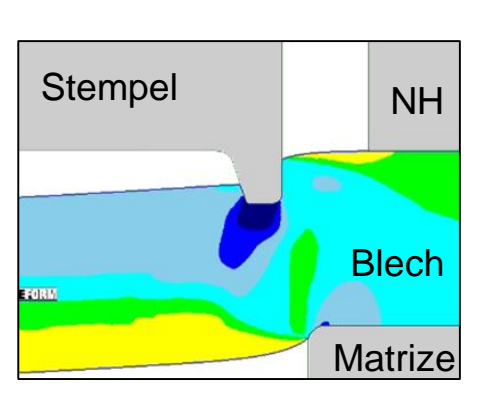












Scherschneiden – Prozessüberwachung







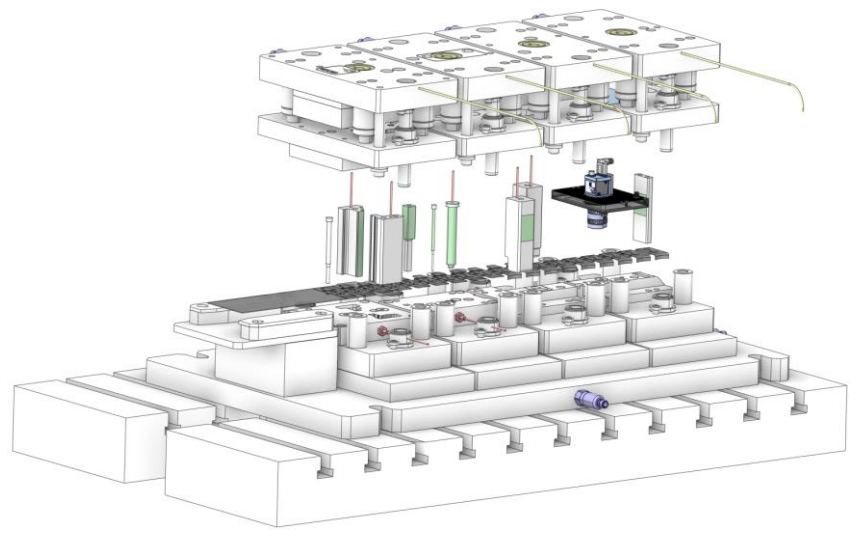
Prozessstop durch Hüllkurvenüberwachung

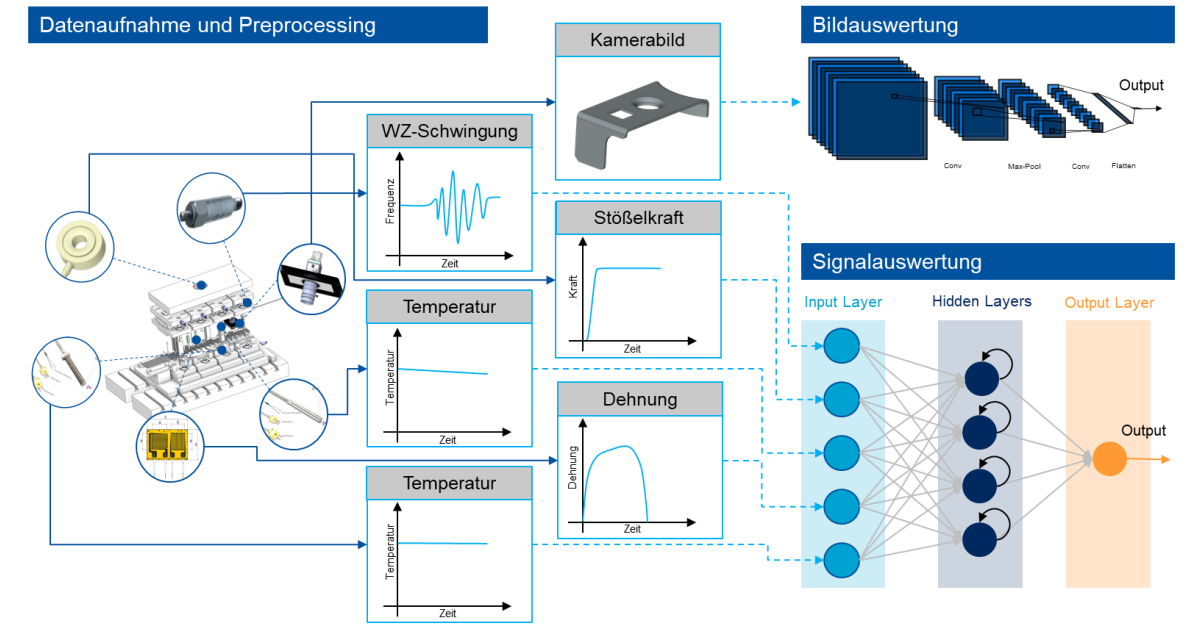
#### **Beispiel**





Forschungsprojekt: ToolDetect

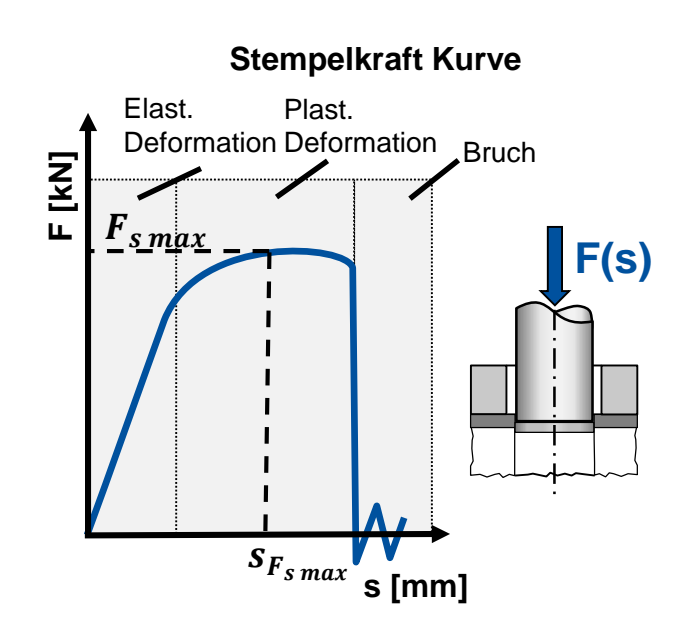




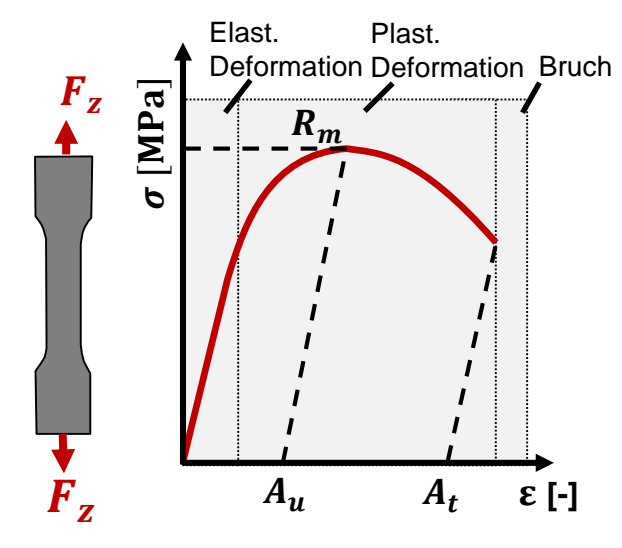


Scherschneiden – Materialprüfung



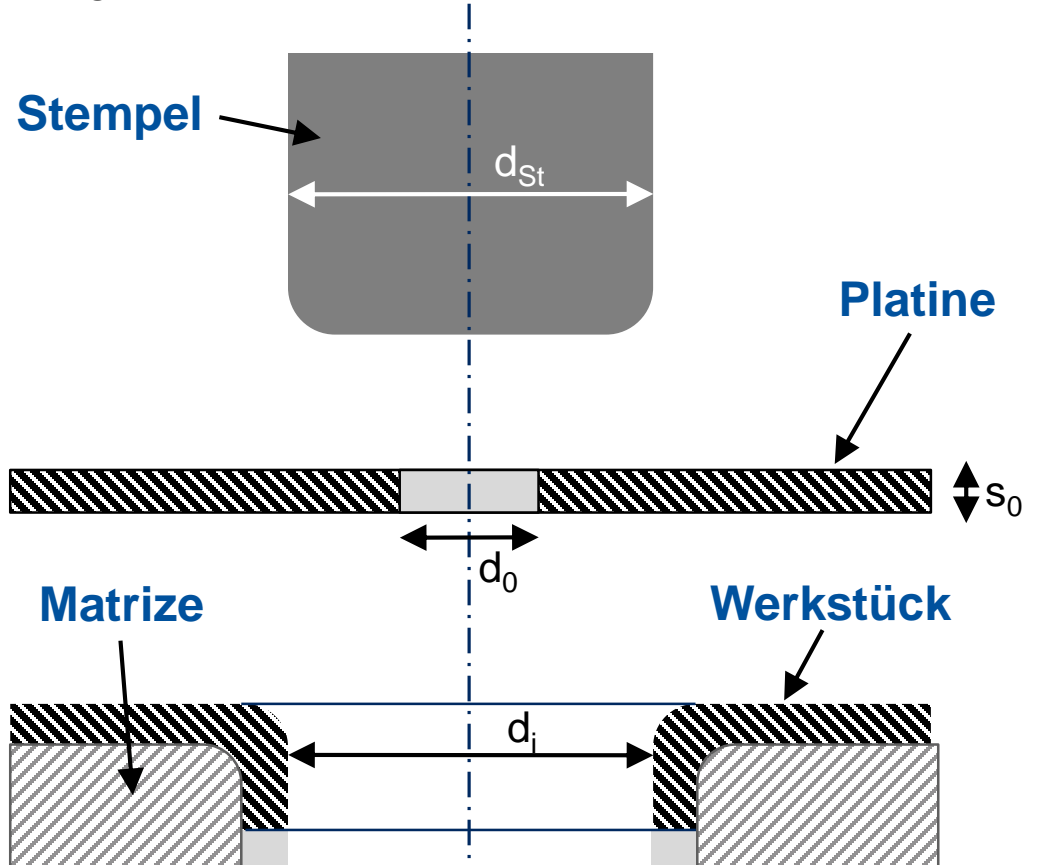


#### Spannungs-Dehnungs Diagramm



Die beim Scherschneiden von Rundlöchern (z.B. Positionslochungen) messbaren Stempelkraft-Weg-Verläufe beinhalten alle notwendigen Informationen hinsichtlich der sonst im Zugversuch zu messenden Materialkennwerte. Durch ein künstliches neuronales Netz kann die Korrelation zwischen den gemessenen Verläufen und den mechanischen Kennwerten hergestellt werden.

Kragenziehen – Zellrahmen, BPP



d<sub>St</sub>: Stempeldurchmesser

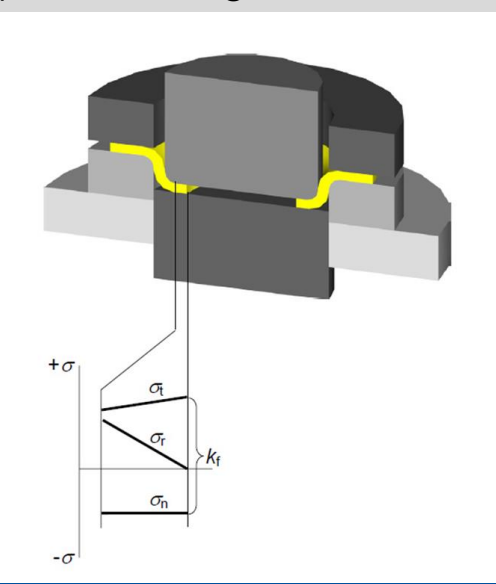
d<sub>i</sub>: Krageninnendurchmesser

d<sub>P</sub>: Matrizendurchmesser

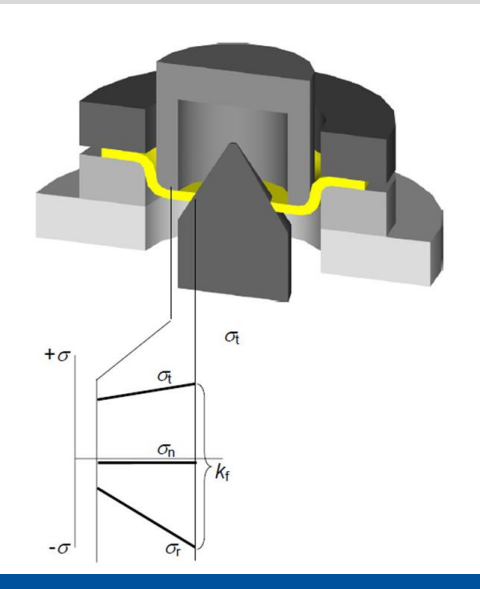


- Zugdruckumformverfahren
- Aufstellen eines Blechdurchzugs
- Vielseitige Anwendung: Lagerung für Wellen, Gewindedurchzug für Verschraubungen, Versteifung von Blechen etc.

#### a) Axialer Gegenhalter



#### b) Radialer Gegenhalter



#### **Vorteile Gegenhalter:**

Einbringung von Druckspannungen in die Umformzone und dadurch größere Aufweitverhältnisse möglich.



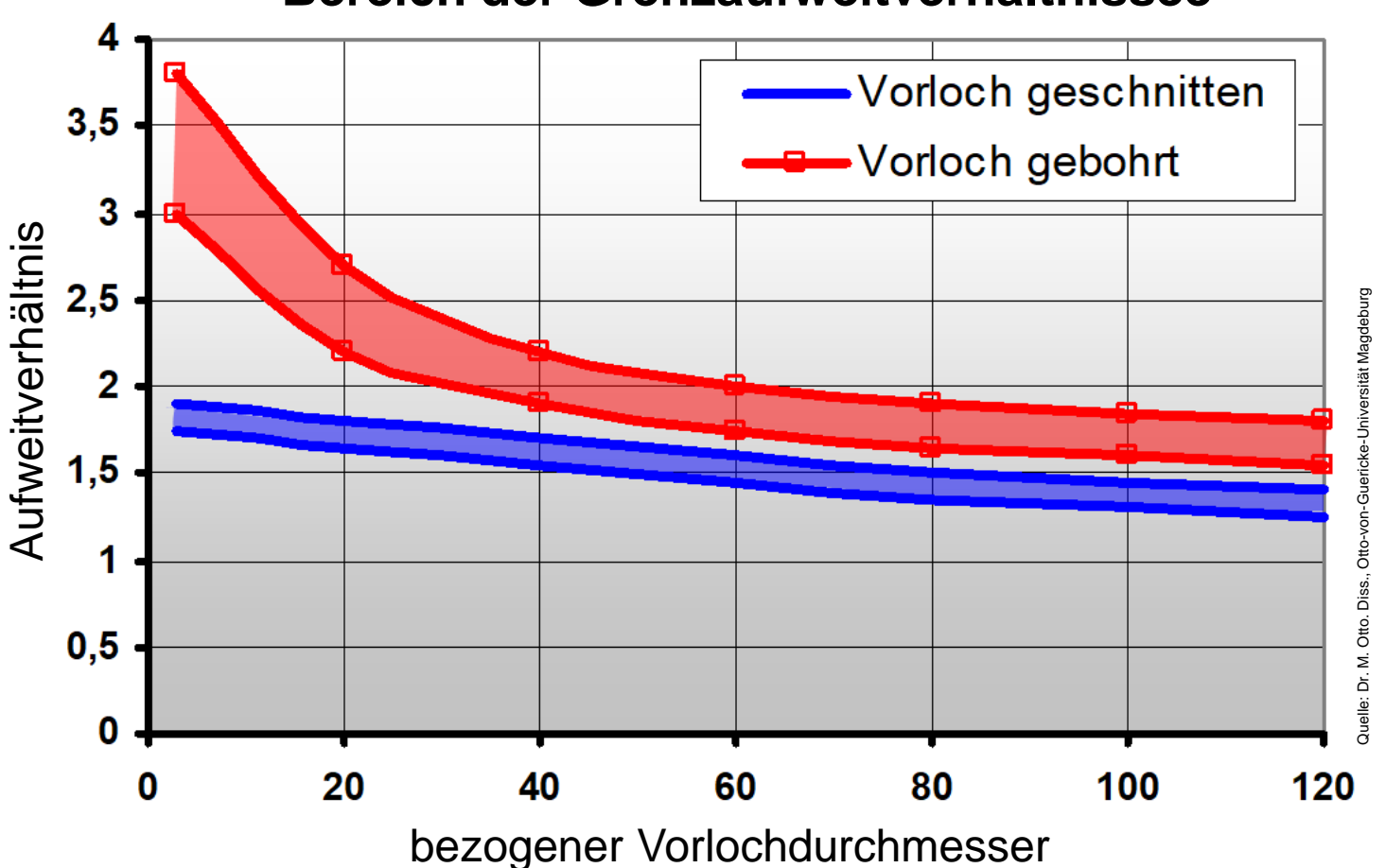


 $d_R$ 

Kragenziehen

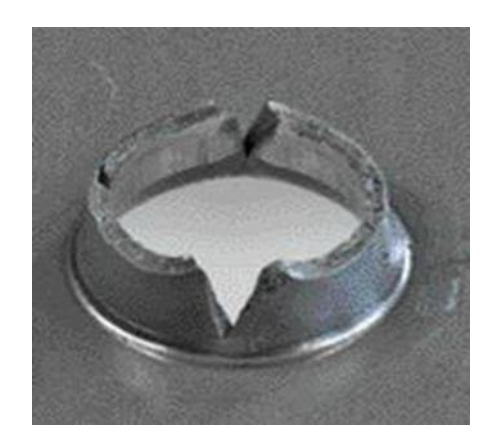


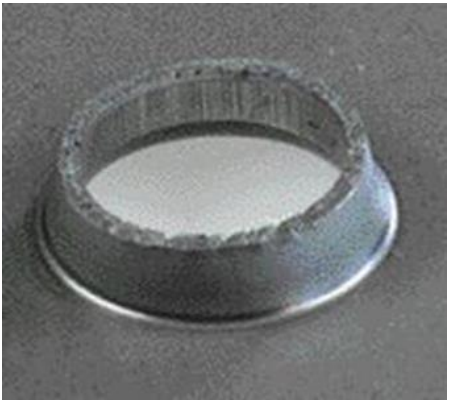
#### Bereich der Grenzaufweitverhältnissee



#### Kantenrisssensitivität

- Vorloch gebohrt: Schnittfläche wird nicht verfestigt. Mehr Umformvermögen.
- Vorloch geschnitten bzw. gestanzt: Material wird in der Schnittfläche verfestigt. Umformvermögen nimmt ab.



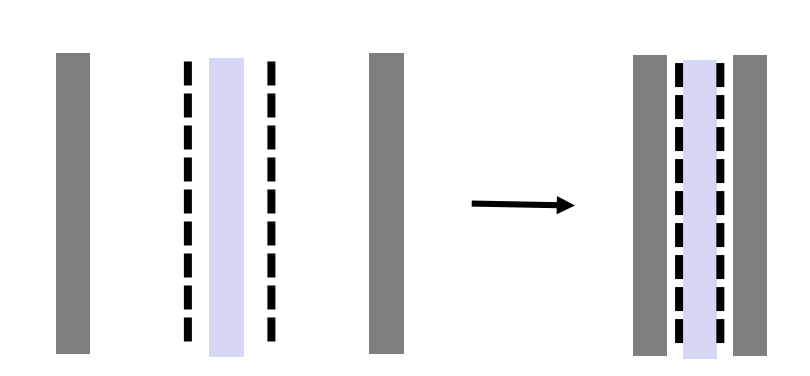


Material: Baustahl 1.0338

## **Elektrolyseur**

Konzepte zur Kontaktierung der Elektrode mit BPP

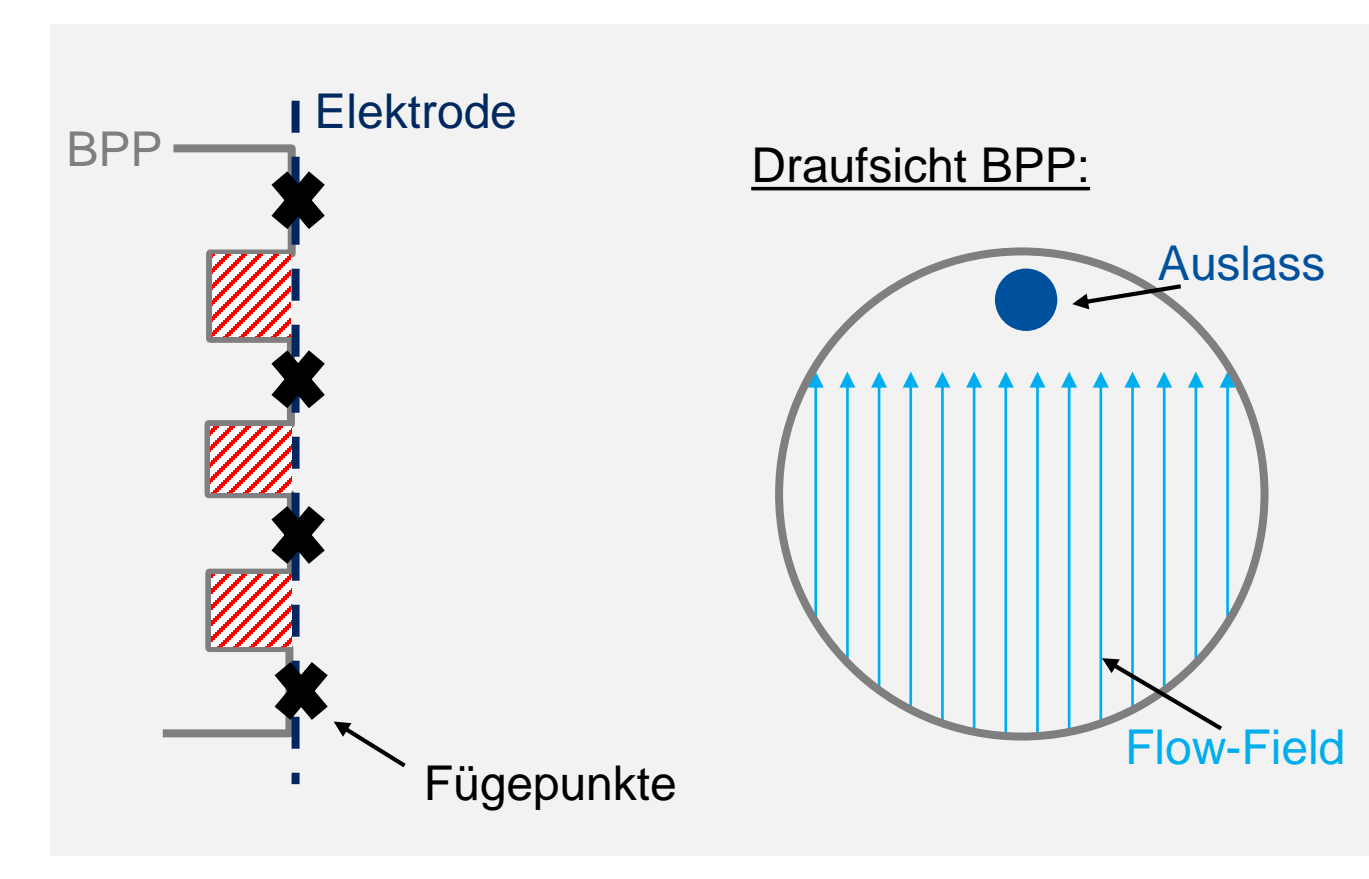




Zukünftig könnte der **Stromübertrager** eingespart werden, wodurch die Leistungsdichte erhöht werden würde. Hierbei gibt es zwei Möglichkeiten:

- 1) Die **Elektrodeneinheit** oder
- 2) die BPP

werden mit einem Flow-Field versehen. Gleiches Herstellungsverfahren wie für BPP von Brennstoffzellen.



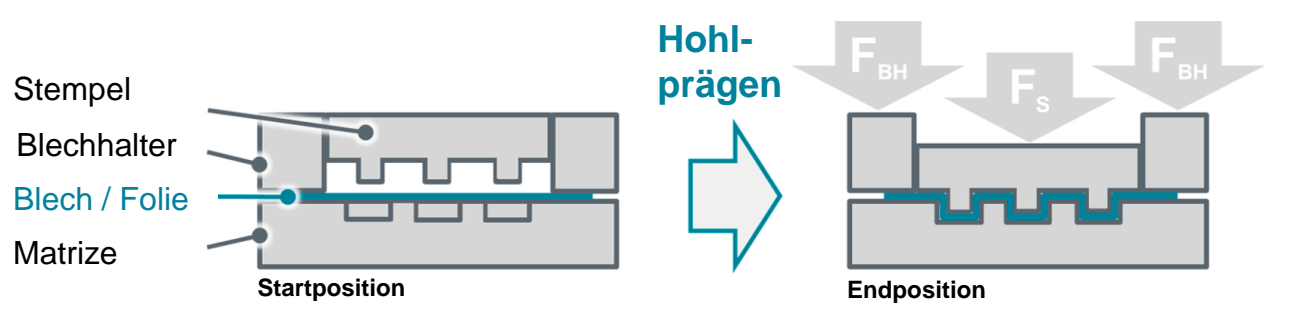
Es muss gewährleistet sein, dass die Kanäle genügend Volumen bereitstellen, um das entstehende Gas abzuführen.

Quelle: zsw



#### Fertigung der Bipolarplatte





#### Hohlprägen

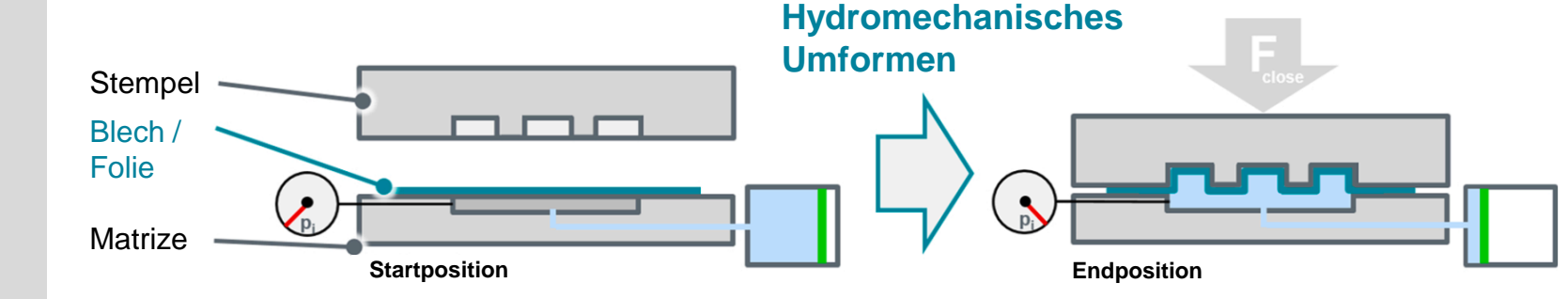
Translatorisches Umformverfahren (klassischer Pressvorgang)

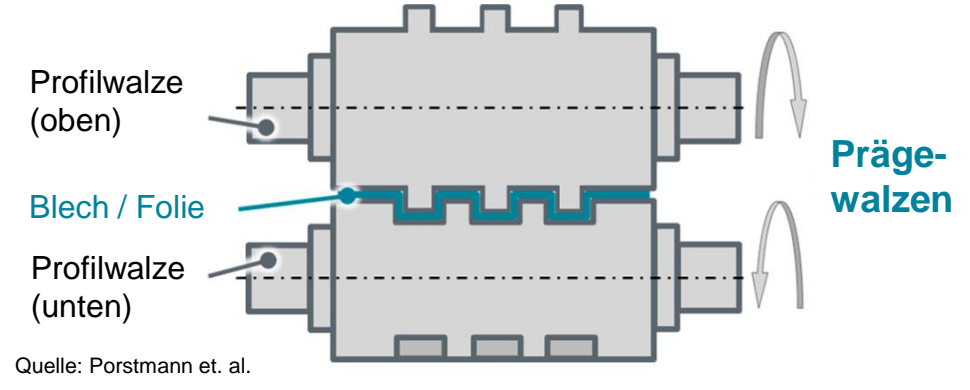
- + Relative hohe Formgenauigkeit
- + Ausbringung relativ hoch
- Vollflächiger Eingriff der Werkzeuge
  - → hohe Presskräfte

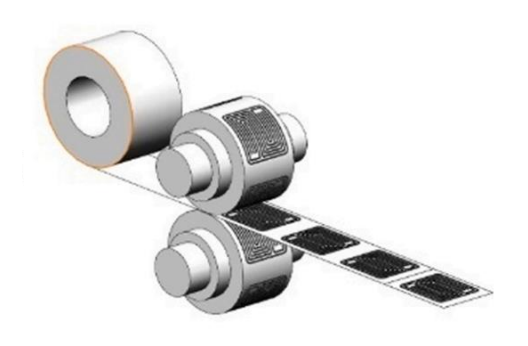
## Hydromechanisches Umformen

Translatorisches Umformverfahren

- + Hohe Formgenauigkeit→ wenig Rückfederung
- Geringe Ausbringung
- Aufwendige Anlagentechnik





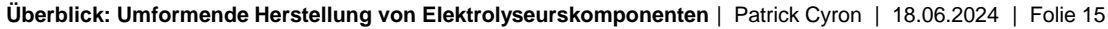


#### Prägewalzen

Rotierendes Umformen mittels Walzen

- + Linienförmiger Werkzeugeingriff→ niedrige Presskräfte
- + Hohe Ausbringung, da kontinuierliche Fertigung
- Starke Rückfederung





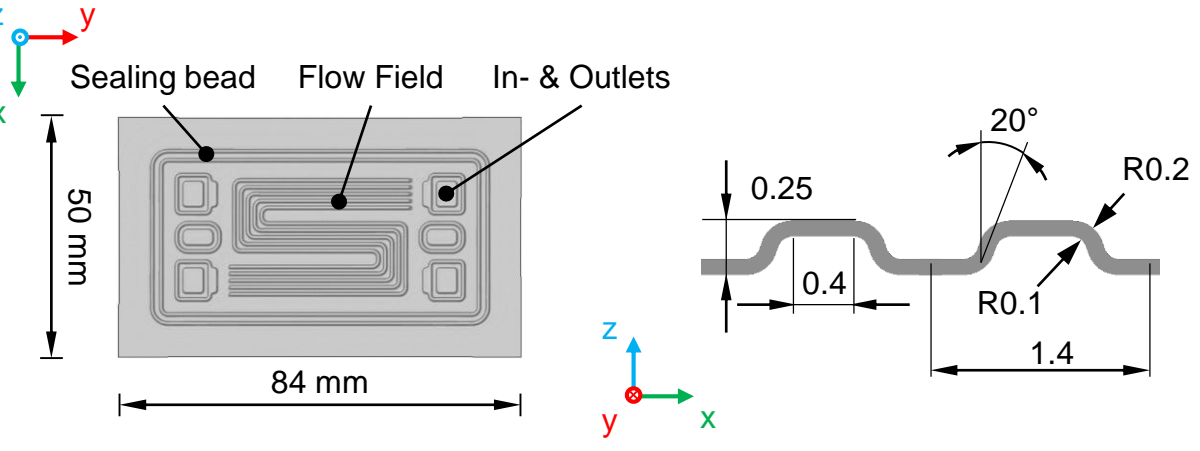
Versuchswerkzeug



#### **Geometrie Bipolarplatte**

#### **Dimension des Flow-Fields**

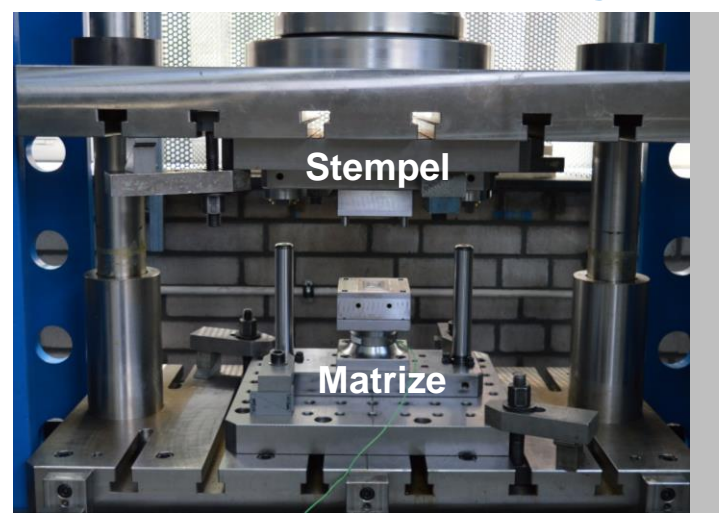
#### Schnitt der gefertigten BPP

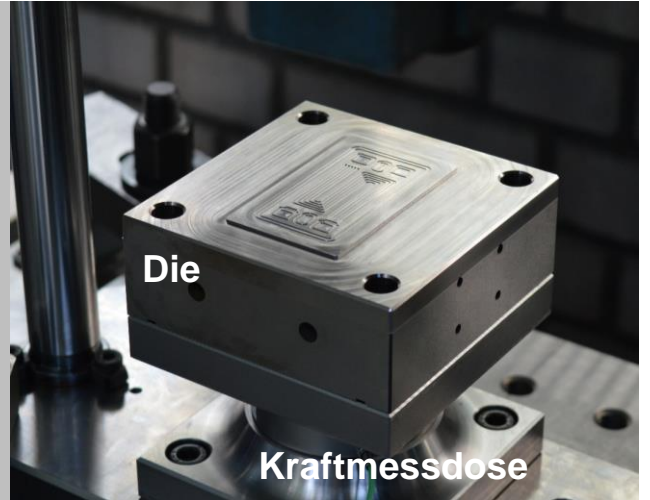


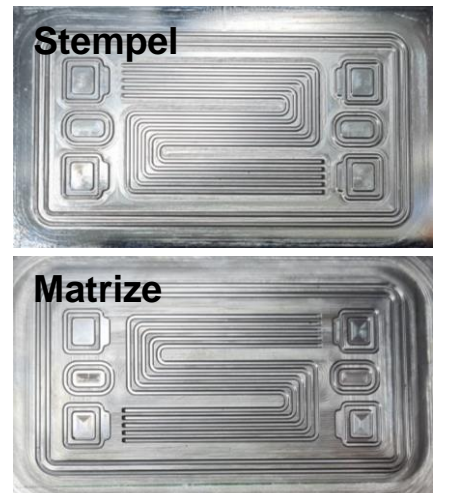




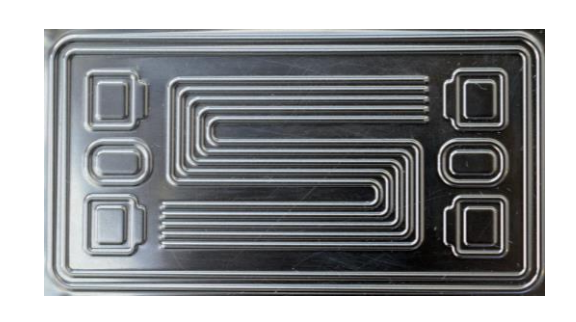
#### **Versuchsaufbau + Werkzeug**







#### **Gefertigte BPP**



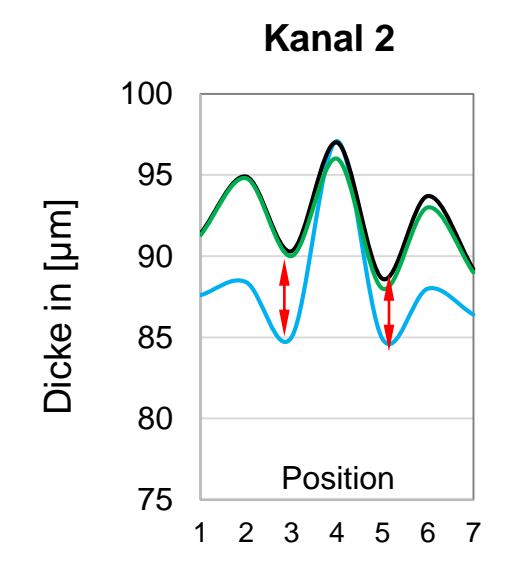


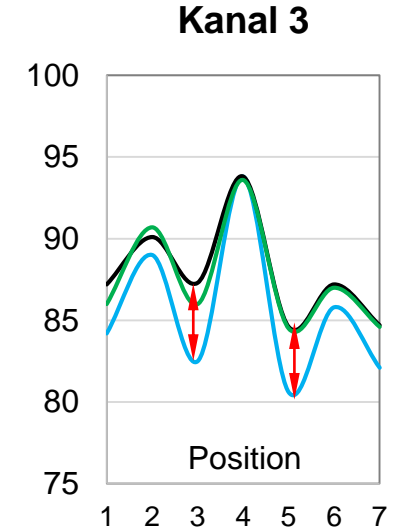


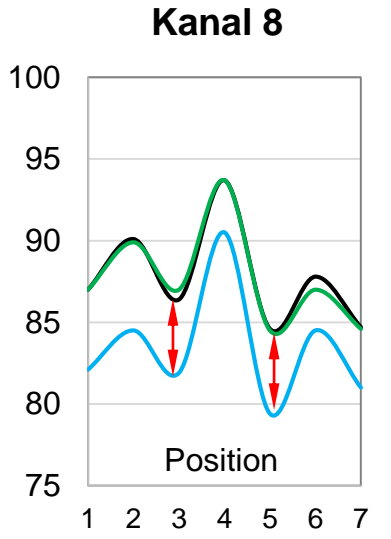
Numerische Ausdünnungsanalyse

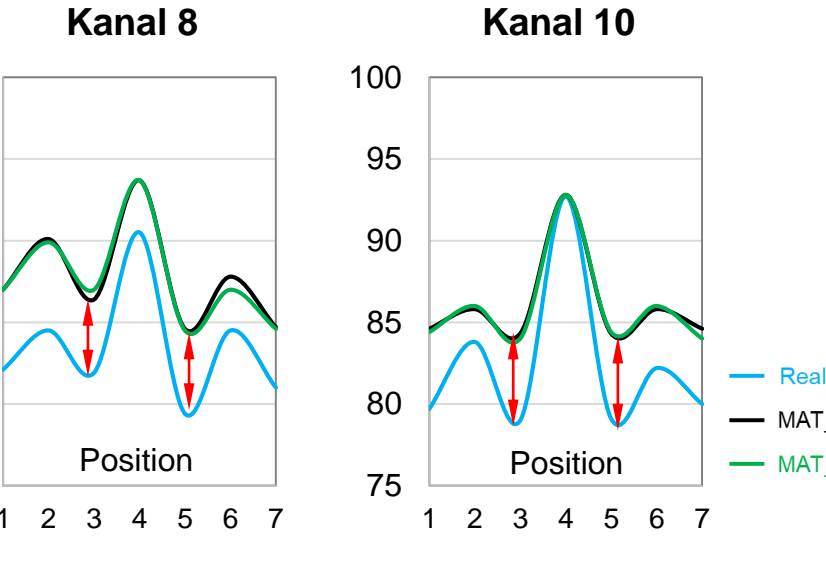




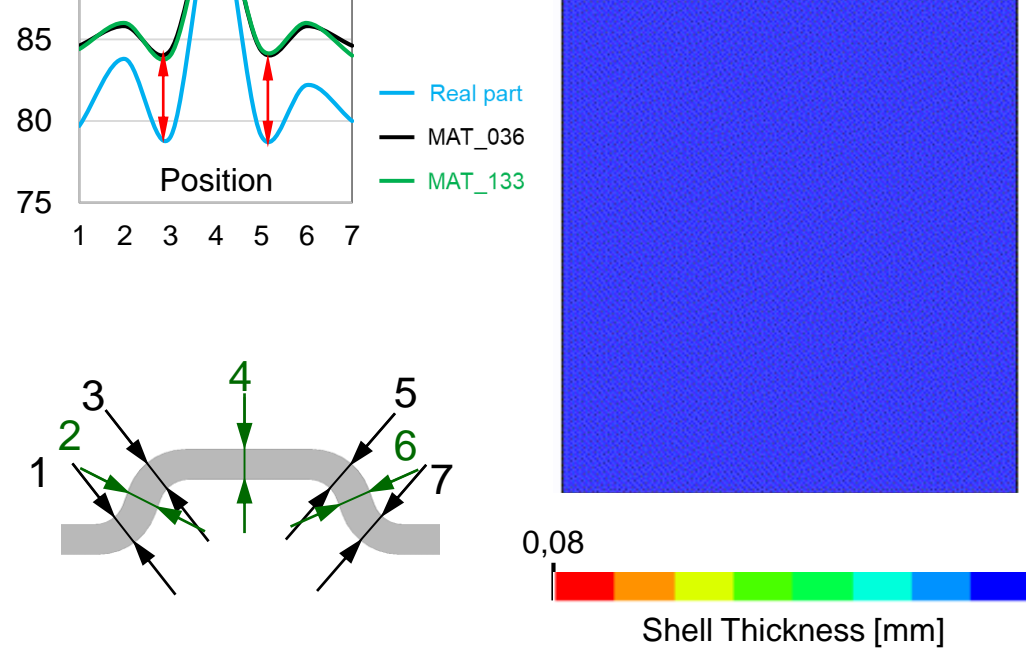








- Ausdünnung kann qualitativ dargestellt werden: Charakteristische Verteilung der Materialdicke
- Absolute Verteilung der Materialdicke kann nur bedingt vorhergesagt werden
- Abweichungen insbesondere im Bereich der Radien

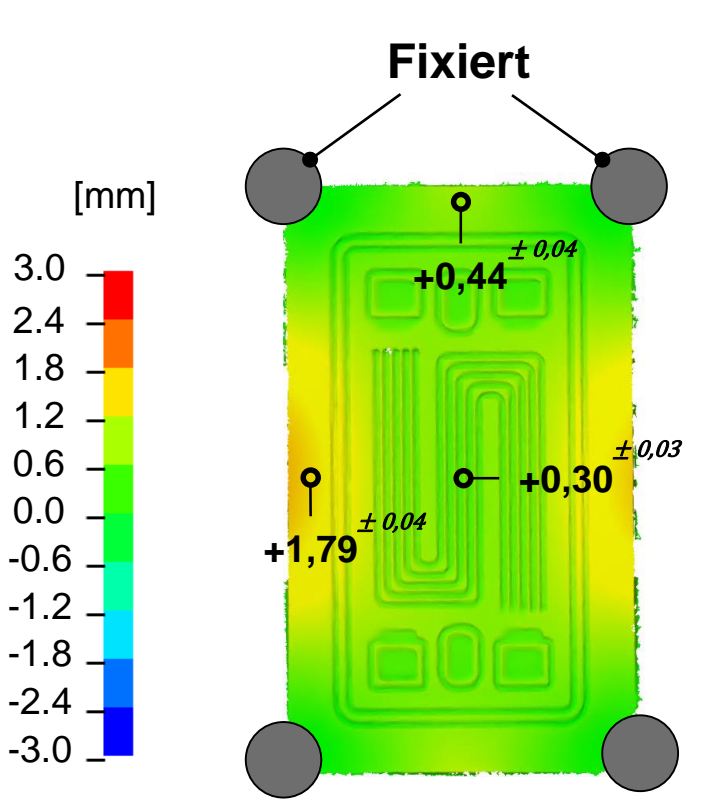






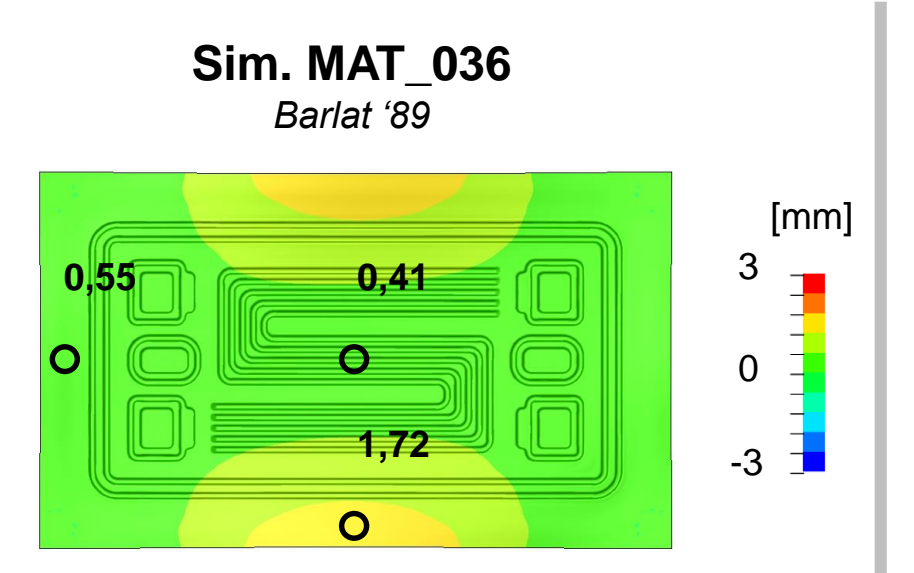
Analyse der Rückfederung (fixed nodesets)

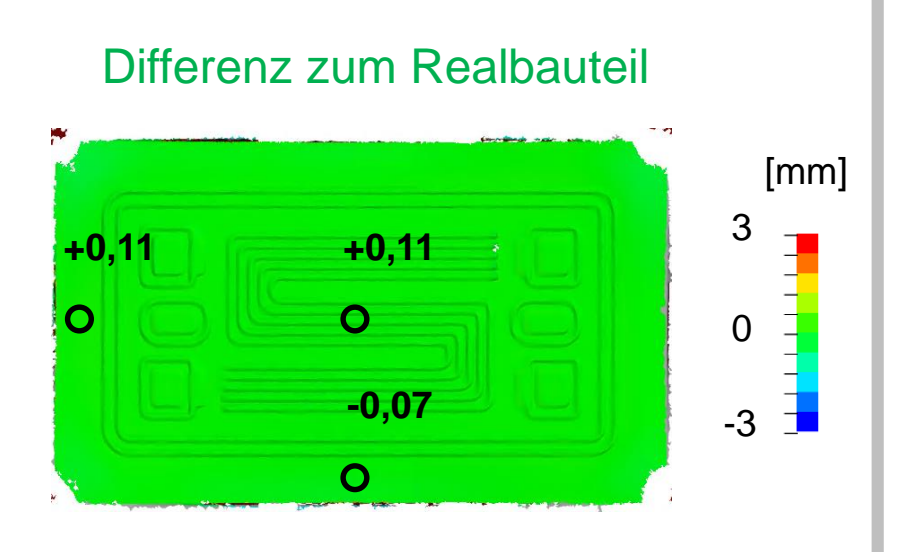


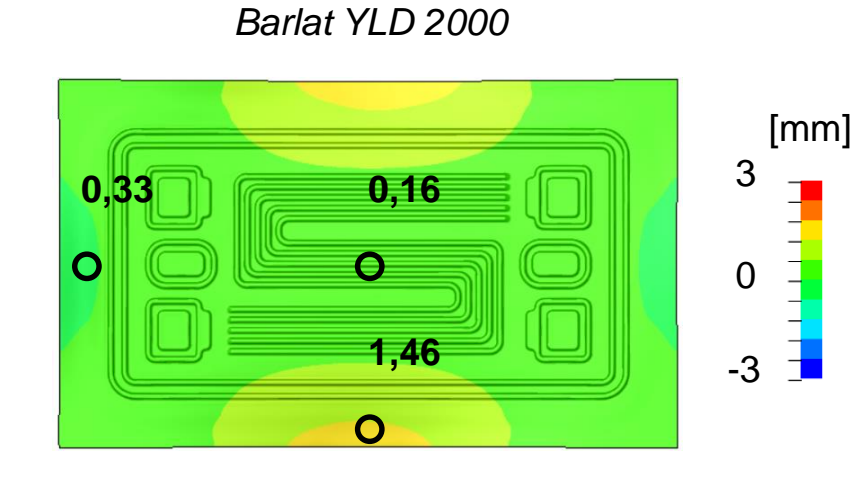


• +0,30<sup>±</sup>0,03

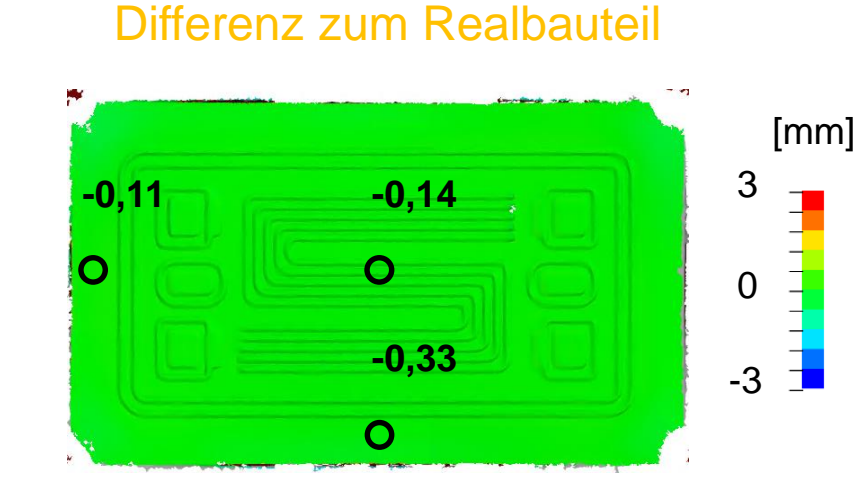
Realbauteil **Qom** Atos







Sim. MAT\_133





## Vielen Dank!

Patrick Cyron, M.Sc. Institut für Umformtechnik Universität Stuttgart Tel. +49 (0) 711 685-83824 patrick.cyron@ifu.uni-stuttgart.de



